

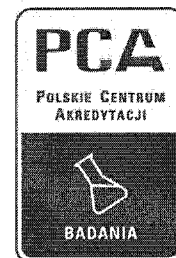


Laboratorium EMVO Sp. J. Urbański, Pawelak

ul. Jasna 1  
00-013 Warszawa

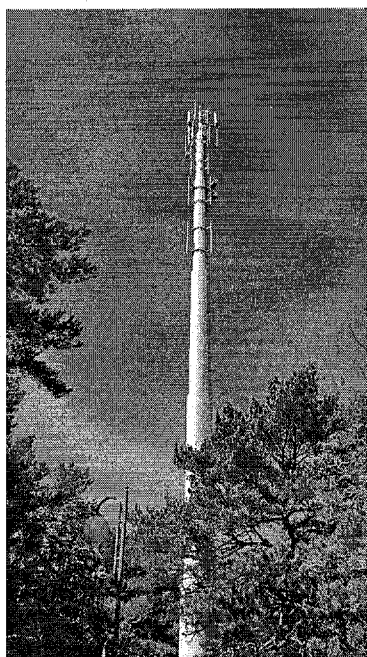
tel. +48 22 780 29 64

e-mail: laboratorium@emvo.pl



AB 1630

## Sprawozdanie z pomiarów pól elektromagnetycznych - środowisko ogólne nr 13/07/OŚ/2022-P4



Nr i nazwa stacji	PUC3601	
Adres	Jurata, dz. nr 66, obr. 0001 Jurata, pow. pucki, woj. pomorskie	
Opracowanie	Wiesław Laskowski	Specjalista ds. pomiarów
Autoryzacja	Andrzej Urbański	Kierownik Laboratorium
Podpis	Podpis jest prawidłowy Dokument podpisany przez Andrzej Urbański Data: 2022.07.13 15:41:33 CEST Powód: Zatwierdzam dokument	
Data	2022-07-12	

## Spis treści

1. Informacje ogólne. ....	3
2. Podstawa prawna. ....	3
3. Opis pomiarów ....	3
4. Zróżnicowanie dopuszczalne poziomy pól elektromagnetycznych.....	5
5. Charakterystyka źródeł PEM.....	5
6. Wyniki pomiarów. ....	6
7. Stwierdzenie zgodności.....	7
8. Oświadczenie.....	8
9. Spis załączników. ....	8

## 1. Informacje ogólne.

Zleceniodawca	P4 Sp. z o.o., ul. Wynalazek 1, 02-677 Warszawa osoba udzielająca informacji – Magdalena Sokół
Istotne informacje dostarczone przez klienta	komplet informacji niezbędnych do wykonania pomiarów i opracowania sprawozdania
Dane otrzymane od klienta mogące mieć wpływ na ważność wyników	dane anten sektorowych, dane anten radioliniowych, parametry pracy instalacji, poprawka pomiarowa
Prowadzący instalację	P4 sp. z o.o., ul. Wynalazek 1, 02-677 Warszawa
Lokalizacja obiektu	Jurata, dz. nr 66, obr. 0001 Jurata, pow. pucki, woj. pomorskie
Miejsce instalacji anten	wieża Monobot
Miejsce instalacji urządzeń	outdoor
Osoby wykonujące pomiar	Roman Murawski - pomiarowiec
Data wykonania pomiaru	2022-07-12
Godzina rozpoczęcia pomiaru	15.00
Godzina zakończenia pomiaru	16.10
Temperatura na początku pomiaru [°C]	21
Temperatura na koniec pomiaru [°C]	21
Warunki atmosferyczne	brak opadów
Wilgotność na początku pomiaru [%]	62
Wilgotność na koniec pomiaru [%]	62
Inne źródła pól elektromagnetycznych	nie występują
Tryb pracy urządzeń	eksploatacyjny

## 2. Podstawa prawna.

### 2.1 Normy i rozporządzenia:

- Rozporządzeniem Ministra Klimatu z dnia 17 lutego 2020 r. w sprawie sposobów sprawdzania dotrzymania dopuszczalnych poziomów pól elektromagnetycznych w środowisku (Dz.U. 2020 poz. 258)
- Rozporządzenie Ministra Zdrowia z dnia 17 grudnia 2019 r. w sprawie dopuszczalnych poziomów pól elektromagnetycznych w środowisku (Dz.U. 2019 poz. 2448)
- Obwieszczenie Marszałka Sejmu Rzeczypospolitej Polskiej z dnia 19 lipca 2019 r. w sprawie ogłoszenia jednolitego tekstu ustawy - Prawo ochrony środowiska (Dz.U. 2019 poz. 1396).
- Rozporządzenie Ministra Klimatu i Środowiska z dnia 26 maja 2022 r. zmieniające rozporządzenie w sprawie sposobów sprawdzania dotrzymywania dopuszczalnych poziomów pól elektromagnetycznych w środowisku (Dz.U. 2022 poz. 1121)

## 3. Opis pomiarów

Metodologia pomiarowa

Pomiary w oparciu o Rozporządzeniem Ministra Klimatu z dnia 17 lutego 2020 r. w sprawie sposobów sprawdzania dotrzymania dopuszczalnych poziomów pól elektromagnetycznych w środowisku (Dz.U. 2020 poz. 258) oraz Rozporządzenie Ministra Klimatu i Środowiska z dnia 26 maja 2022 r. zmieniające rozporządzenie w sprawie sposobów sprawdzania dotrzymywania dopuszczalnych poziomów pól elektromagnetycznych w środowisku (Dz.U. 2022 poz. 1121).

Cel badań

Określenie wartości natężenia pola elektrycznego w miejscach dostępnych dla ludności.

„Bez pisemnej zgody Laboratorium niniejsze sprawozdanie nie może być powielane inaczej, jak tylko w całości. Ponadto wyniki dotyczą tylko badanych obiektów przywołanych w niniejszym sprawozdaniu z badań”

Opis zestawu pomiarowego	<p>Miernik Narda NBM 550, Sonda EF 6092, o zakresie pomiarowym 0,7 V/m – 300V/m pracująca w paśmie 0,1 – 90 GHz, świadectwo wydane przez Laboratorium Wzorców i Metrologii Pola Elektromagnetycznego, Instytut Telekomunikacji, Teleinformatyki i Akustyki Politechniki Wrocławskiej. Świadectwo ważne do 10.06.2024 r.</p> <p>Miernik Narda NBM 550, Sonda EF 6092 pracująca w zakresie temperatury -10°C - +50°C oraz wilgotności 5% - 95%</p> <p>Niepewność rozszerzona wynosi 58,8% przy poziomie ufności 95% z uwzględnieniem współczynnika rozszerzenia k=2.</p>
Wypożyczenie pomocnicze	<p>Termohigrometr Bestone, typ: GM1362-EN-00, nr identyfikacyjny 1222436, świadectwo wzorcowania z dn. 22.12.2015 r. wydane przez Laboratorium Pomiarowe "MUTECH".</p> <p>Przymiar wstępowy STABILA, nr identyfikacyjny 5/WL/2016, świadectwo wzorcowania z dn. 06.09.2016 r. wydane przez Zespół Laboratoriów wzorcujących Okręgowego Urzędu Miar w Gdańsku.</p> <p>GPS Garmin 64s okresowo sprawdzany w punktach osnowy geodezyjnej klasy 3 na podstawie licencji punktu, zgodnie z procedurą sprawdzeń okresowych IS/PO-16-11/03.</p>
Pomiary zostały wykonane	<ol style="list-style-type: none"> <li>1. na głównych i pomocniczych kierunkach pomiarowych, na kierunkach zbliżonych do azymutów anten oraz w dodatkowych pionach pomiarowych zgodnie z wymaganiami pkt 12, 13, 14 i 19 załącznika do rozporządzenia Ministra Klimatu z dnia 17 lutego 2020 r. (Dz. U. 2020, poz. 258) oraz Rozporządzenia Ministra Klimatu i Środowiska z dnia 26 maja 2022 r. zmieniającego rozporządzenie w sprawie sposobów sprawdzania dotrzymywania dopuszczalnych poziomów pól elektromagnetycznych w środowisku (Dz.U. 2022 poz. 1121).</li> <li>2. na obszarze pomiarowym, dla którego, na podstawie uprzednio przeprowadzonych obliczeń stwierdzono w miejscach dostępnych dla ludności występowanie pól elektromagnetycznych o najwyższym poziomie, które pochodzą z badanej instalacji zgodnie z wymaganiami pkt 5 ppkt 2 oraz pkt 13 ppkt 1 Rozporządzenia Ministra Klimatu z dnia 17 lutego 2020 r. w sprawie sposobów sprawdzania dotrzymywania dopuszczalnych poziomów pól elektromagnetycznych w środowisku (Dz. U. 2020, poz. 258) oraz Rozporządzenia Ministra Klimatu i Środowiska z dnia 6 maja 2022 r. zmieniającego rozporządzenie w sprawie sposobów sprawdzania dotrzymywania dopuszczalnych poziomów pól elektromagnetycznych w środowisku (Dz.U. 2022 poz. 1121). Wyniki obliczeń nie uwzględniały parametrów pracy instalacji innych operatorów występujących na obiekcie bądź w obszarze pomiarowym.</li> <li>3. w miejscach dostępnych dla ludności.</li> <li>4. miejsca niedostępne podczas wykonywania pomiarów wskazane zostały w pkt 6 (tabeli wyniki pomiarów)</li> </ol>
Szczególne warunki podczas wykonywania pomiarów	<p>Pomiary wykonane zostały podczas obowiązywania w kraju stanu zagrożenia epidemicznego, zgodnie z art. 122a ust. 1b Ustawy z dnia 27 kwietnia 2001 r. – Prawo ochrony środowiska (Dz. U. z 2019 r. poz. 1396, z późn. zm.9))</p>
Warunki pracy urzędzeń nadawczych	<p>Tryb pracy eksploatacyjny.</p>

#### 4. Zróżnicowanie dopuszczalne poziomy pól elektromagnetycznych.

Zakresy znajdują się w Dzienniku Ustaw z dnia 17 grudnia 2019 r. przedstawione są w tabeli nr 2 (Dz. U. z 2019 r. poz. 2448).

Zakres częstotliwości pola elektromagnetycznego	Parametr fizyczny		
	Składowa elektryczna E (V/m)	Składowa magnetyczna H (A/m)	Gęstość mocy S (W/m <sup>2</sup> )
od 400 MHz do 2000 MHz	$1,375 \times f^{0,5}$	$0,0037 \times f^{0,5}$	f / 200
od 2 GHz do 300 GHz	61	0,16	10

#### 5. Charakterystyka źródeł PEM.

Zgodnie z informacją otrzymaną od klienta pomiary zostały wykonane przy ustawieniach pochyleń anten zgodnych z pkt. 13, ppkt 2 załącznika do rozporządzenia Ministra Klimatu z dnia 17 lutego 2020 roku.

Tabela 1. Anteny sektorowe - dane otrzymane od klienta

Charakterystyka promieniowania		kierunkowa		
Rzeczywisty czas pracy [h/dobę]		24		
Rodzaj wytwarzanego pola		stacjonarne		
Lp.	Wyszczególnienie	sektor 1	sektor 2	sektor 3
I Nadajnik stacji bazowej:				
1	Typ / Producent	DBS / SRAN Huawei		
2	Częstotliwość (pasmo) MHz	900	900	900
3	Maksymalna moc nadawana na sektor [dBm]	47,78	47,78	47,78
II Obciążenie:				
1	Typ anteny	Huawei ATR4518R13	Huawei ATR4518R13	Huawei ATR4518R13
2	Producent anteny	Huawei	Huawei	Huawei
3	Ilość anten	1	1	1
4	Azymut	115	225	315
5	Zakres kątów pochyleń anten [°]	0,00-6,00	0,00-6,00	0,00-6,00
6	Wysokość zainstalowania n.p.t. [m] (środek elektryczny anteny)	41,10	41,10	41,10
7	EIRP [W]	1738	1738	1738

Tabela 2. Anteny radioliniowe - dane otrzymane od klienta

Charakterystyka promieniowania		kierunkowa					
Rzeczywisty czas pracy [h/dobę]		24					
Rodzaj wytwarzanego pola		stacjonarne					
Lp.	Linia radiowa			Antena			
	typ/producent	częstotliwość pracy [GHz]	moc wyjściowa [dBm]	typ/producent	średnica anteny [m]	azymut [°]	wysokość zainstalowania n.p.t. [m] (środek elektryczny anteny)
1	OPTIX RTN/HUAWEI	80	18	A80S03/Huawei	0,3	144	30,00

## 6. Wyniki pomiarów.

Wyniki pomiarów pól elektromagnetycznych dla celów ochrony środowiska przedstawia poniższa tabela. Piony pomiarowe zostały przedstawione w zał. 2.

Nr PP	Pole-E [V/m]	Pole-E+U [V/m]	Pole-H [A/m]	Pole-H+U [A/m]	Wysokość pomiaru [m]	Współrzędne PP x, y	Opis PP	WM <sub>E</sub>	WM <sub>H</sub>
1	2,0	3,18	0,005	0,008	0,3 - 2,0	54°40'58.31" N 18°43'11.22" E	otoczenie stacji bazowej - 50 m wzdłuż gł. osi promieniowania - GKP	0,115	0,115
2	1,4	2,22	0,004	0,006	0,3 - 2,0	54°40'57.62" N 18°43'13.75" E	otoczenie stacji bazowej - 100 m wzdłuż gł. osi promieniowania - GKP	0,081	0,081
3	0,9	1,43	0,002	0,004	0,3 - 2,0	54°40'56.94" N 18°43'16.28" E	otoczenie stacji bazowej - 150 m wzdłuż gł. osi promieniowania - GKP	0,052	0,052
4	0,7*	1,27	0,002	0,003	0,3 - 2,0	54°40'56.26" N 18°43'18.81" E	otoczenie stacji bazowej - 200 m wzdłuż gł. osi promieniowania - GKP	0,046	0,046
5	0,7*	1,27	0,002	0,003	0,3 - 2,0	54°40'55.57" N 18°43'21.34" E	otoczenie stacji bazowej - 250 m wzdłuż gł. osi promieniowania - GKP	0,046	0,046
6	0,7*	1,27	0,002	0,003	0,3 - 2,0	54°40'54.89" N 18°43'23.87" E	otoczenie stacji bazowej - 300 m wzdłuż gł. osi promieniowania - GKP	0,046	0,046
7	0,7*	1,27	0,002	0,003	0,3 - 2,0	54°40'54.21" N 18°43'26.39" E	otoczenie stacji bazowej - 350 m wzdłuż gł. osi promieniowania - GKP	0,046	0,046
8	0,7*	1,27	0,002	0,003	0,3 - 2,0	54°40'53.37" N 18°43'29.48" E	otoczenie stacji bazowej - 411 m wzdłuż gł. osi promieniowania - GKP	0,046	0,046
9	1,4	2,22	0,004	0,006	0,3 - 2,0	54°40'57.85" N 18°43'6.72" E	otoczenie stacji bazowej - 50 m wzdłuż gł. osi promieniowania - GKP	0,081	0,081
10	0,9	1,43	0,002	0,004	0,3 - 2,0	54°40'56.7" N 18°43'4.74" E	otoczenie stacji bazowej - 100 m wzdłuż gł. osi promieniowania - GKP	0,052	0,052
11	0,7*	1,27	0,002	0,003	0,3 - 2,0	54°40'55.56" N 18°43'2.77" E	otoczenie stacji bazowej - 150 m wzdłuż gł. osi promieniowania - GKP	0,046	0,046
12	0,7*	1,27	0,002	0,003	0,3 - 2,0	54°40'54.42" N 18°43'0.8" E	otoczenie stacji bazowej - 200 m wzdłuż gł. osi promieniowania - GKP	0,046	0,046
13	0,7*	1,27	0,002	0,003	0,3 - 2,0	54°40'53.27" N 18°42'58.82" E	otoczenie stacji bazowej - 250 m wzdłuż gł. osi promieniowania - GKP	0,046	0,046
14	0,7*	1,27	0,002	0,003	0,3 - 2,0	54°40'52.13" N 18°42'56.85" E	otoczenie stacji bazowej - 300 m wzdłuż gł. osi promieniowania - GKP	0,046	0,046
15	0,7*	1,27	0,002	0,003	0,3 - 2,0	54°40'50.99" N 18°42'54.88" E	otoczenie stacji bazowej - 350 m wzdłuż gł. osi promieniowania - GKP	0,046	0,046
16	1,1	1,75	0,003	0,005	0,3 - 2,0	54°41'0.13" N 18°43'6.72" E	otoczenie stacji bazowej - 50 m wzdłuż gł. osi promieniowania - GKP	0,064	0,063
17	0,8	1,27	0,002	0,003	0,3 - 2,0	54°41'1.28" N 18°43'4.74" E	otoczenie stacji bazowej - 100 m wzdłuż gł. osi promieniowania - GKP	0,046	0,046
18	0,7*	1,27	0,002	0,003	0,3 - 2,0	54°41'2.42" N 18°43'2.77" E	otoczenie stacji bazowej - 150 m wzdłuż gł. osi promieniowania - GKP	0,046	0,046
19	0,7*	1,27	0,002	0,003	0,3 - 2,0	54°41'3.56" N 18°43'0.8" E	otoczenie stacji bazowej - 200 m wzdłuż gł. osi promieniowania - GKP	0,046	0,046
20	0,7*	1,27	0,002	0,003	0,3 - 2,0	54°41'4.71" N 18°42'58.82" E	otoczenie stacji bazowej - 250 m wzdłuż gł. osi promieniowania - GKP	0,046	0,046
21	0,7*	1,27	0,002	0,003	0,3 - 2,0	54°41'5.85" N 18°42'56.85" E	otoczenie stacji bazowej - 300 m wzdłuż gł. osi promieniowania - GKP	0,046	0,046
22	0,7*	1,27	0,002	0,003	0,3 - 2,0	54°41'6.99" N 18°42'54.88" E	otoczenie stacji bazowej - 350 m wzdłuż gł. osi promieniowania - GKP	0,046	0,046
23	0,7*	1,27	0,002	0,003	0,3 - 2,0	54°41'8.39" N 18°42'52.47" E	otoczenie stacji bazowej - 411 m wzdłuż gł. osi promieniowania - GKP	0,046	0,046
24	2,1	3,33	0,006	0,009	0,3 - 2,0	54°40'57.68" N 18°43'10.33" E	otoczenie stacji bazowej - 50 m wzdłuż gł. osi promieniowania - GKP	0,121	0,121
25	0,8	1,27	0,002	0,003	0,3 - 2,0	54°41'1.28" N 18°43'12.64" E	otoczenie stacji bazowej - PKP	0,046	0,046
26	0,8	1,27	0,002	0,003	0,3 - 2,0	54°40'58.99" N 18°43'3.11" E	otoczenie stacji bazowej - PKP	0,046	0,046
A	2,1	3,33	0,006	0,009	0,3 - 2,0	54°40'57.7" N 18°43'08.8" E	ul. Świętopełka 5, pomiar przy budynku - DPP	0,121	0,121

„Bez pisemnej zgody Laboratorium niniejsze sprawozdanie nie może być powielane inaczej, jak tylko w całości. Ponadto wyniki dotyczą tylko badanych obiektów przywołanych w niniejszym sprawozdaniu z badań”

Nr PP	Pole-E [V/m]	Pole-E+U [V/m]	Pole-H [A/m]	Pole-H+U [A/m]	Wysokość pomiaru [m]	Współrzędne PP x, y	Opis PP	WM <sub>E</sub>	WM <sub>H</sub>
B	0,9	1,43	0,002	0,004	0,3 - 2,0	54°40'56.4"N 18°43'12.3"E	ul. Świętopełka 7, pomiar przy budynku - DPP	0,052	0,052
C	0,7*	1,27	0,002	0,003	0,3 - 2,0	54°40'55.4"N 18°43'12.3"E	ul. Świętopełka 7, pomiar przy budynku - DPP	0,046	0,046
D	0,7*	1,27	0,002	0,003	0,3 - 2,0	54°40'56.0"N 18°43'02.4"E	ul. Wojska Polskiego 59, pomiar przy budynku - DPP	0,046	0,046
E	0,7*	1,27	0,002	0,003	0,3 - 2,0	54°40'53.2"N 18°43'00.2"E	ul. Wojska Polskiego, pomiar przy budynku - DPP	0,046	0,046
F	0,7*	1,27	0,002	0,003	0,3 - 2,0	54°40'53.8"N 18°42'59.6"E	ul. Wojska Polskiego 40, pomiar przy budynku - DPP	0,046	0,046
G	0,7*	1,27	0,002	0,003	0,3 - 2,0	54°40'52.3"N 18°42'59.0"E	ul. Świętopełka 10/12, pomiar przy budynku - DPP	0,046	0,046
H	0,7*	1,27	0,002	0,003	0,3 - 2,0	54°40'52.2"N 18°42'56.8"E	ul. Ratibora 47, pomiar przy budynku - DPP	0,046	0,046
I	0,7*	1,27	0,002	0,003	0,3 - 2,0	54°40'51.4"N 18°42'55.3"E	ul. Ratibora 32, pomiar przy budynku - DPP	0,046	0,046
J	0,7*	1,27	0,002	0,003	0,3 - 2,0	54°40'50.4"N 18°42'53.8"E	ul. Mestwina 35, pomiar przy budynku - DPP	0,046	0,046
K	0,7*	1,27	0,002	0,003	0,3 - 2,0	54°40'50.4"N 18°42'52.3"E	ul. Mestwina 48, pomiar przy ogrodzeniu - DPP	0,046	0,046
L	0,7*	1,27	0,002	0,003	0,3 - 2,0	54°41'06.7"N 18°42'56.6"E	ul. Międzymorze 4, pomiar przy budynku - DPP	0,046	0,046
M	0,7*	1,27	0,002	0,003	0,3 - 2,0	54°41'03.1"N 18°42'57.5"E	ul. Międzymorze 8, pomiar przy budynku - DPP	0,046	0,046

Wynik pomiaru pole - E [V/m] - maksymalna wartość chwilowa zmierzona w danym pionie pomiarowym (uśredniona na podstawie punktu 11 Załącznika do Rozporządzenia Ministra Zdrowia).

Przyjęto najniższą dopuszczalną wartość składowej elektrycznej pola dla objętego pomiarami zakresu częstotliwości  $\min(\text{MEgr}) = 28 \text{ V/m}$  oraz składowej magnetycznej  $\min(\text{MHgr}) = 0,073 \text{ A/m}$ .

\* - wartość zmierzona poniżej zakresu akredytacji. Do obliczeń przyjęto wartość zgodną z dolną granicą akredytowanego zakresu pomiarowego metody.

GKP - główne kierunki pomiarowe

PKP - pomocnicze kierunki pomiarowe

DPP - dodatkowe punkty pomiarowe

PP - pion pomiarowy

U - niepewność rozszerzona wynosi 58,8% przy poziomie ufności 95%

WM<sub>E</sub> - wartość wskaźnikowa poziomu emisji pól elektromagnetycznych dla miejsc dostępnych dla ludności dla składowej elektrycznej pola

WM<sub>H</sub> - wartość wskaźnikowa poziomu emisji pól elektromagnetycznych dla miejsc dostępnych dla ludności dla składowej magnetycznej pola

## 7. Stwierdzenie zgodności

Na podstawie wytycznych podanych w Rozporządzeniu Ministra Zdrowia z dnia 17 grudnia 2019 r. w sprawie dopuszczalnych poziomów pól elektromagnetycznych w środowisku (Dz.U. 2019 poz. 2448) oraz sposobów sprawdzania dotrzymania tych poziomów zgodnie z Rozporządzeniem Ministra Klimatu z dnia 17 lutego 2020 r. w sprawie sposobów sprawdzania dotrzymania dopuszczalnych poziomów pól elektromagnetycznych w środowisku (Dz.U. 2020 poz. 258) oraz Rozporządzeniem Ministra Klimatu i Środowiska z dnia 6 maja 2022 r. zmieniającego rozporządzenie w sprawie sposobów sprawdzania dotrzymania dopuszczalnych poziomów pól elektromagnetycznych w środowisku (Dz.U. 2022 poz. 1121), dotyczących źródła wymagań, które muszą być spełnione, w oparciu o zasadę podejmowania decyzji zgodną z pkt 26 Rozporządzenia Ministra Klimatu z dnia 17 lutego 2020 r. (Dz.U. 2020 poz. 258), na podstawie wyników pomiarów pól elektromagnetycznych wykonanych w dniu 2022-07-12 stwierdzono, iż w miejscach dostępnych dla ludności, dopuszczalne poziomy pól elektromagnetycznych w środowisku, określone w przepisach wydanych na podstawie art. 122 ust. 1 ustawy z dnia 27 kwietnia 2001 r. – Prawo ochrony środowiska, uznaje się za dotrzymane w obszarze pomiarowym, w którym w wyniku zastosowania sposobu sprawdzenia dotrzymania dopuszczalnych poziomów pól elektromagnetycznych w środowisku, udokumentowano, że żadna z wartości wskaźnikowych nie przekracza wartości 1.

„Bez pisemnej zgody Laboratorium niniejsze sprawozdanie nie może być powielane inaczej, jak tylko w całości. Ponadto wyniki dotyczą tylko badanych obiektów przywołanych w niniejszym sprawozdaniu z badań”

## 8. Oświadczenie.

Wyniki badania odnoszą się wyłącznie do badanego obiektu.

Bez pisemnej zgody sprawozdanie nie może być powielane inaczej, jak tylko w całości.

Uwagi i zastrzeżenia przyjmowane są w formie pisemnej w ciągu 14 dni od daty otrzymania sprawozdania.

## 9. Spis załączników.

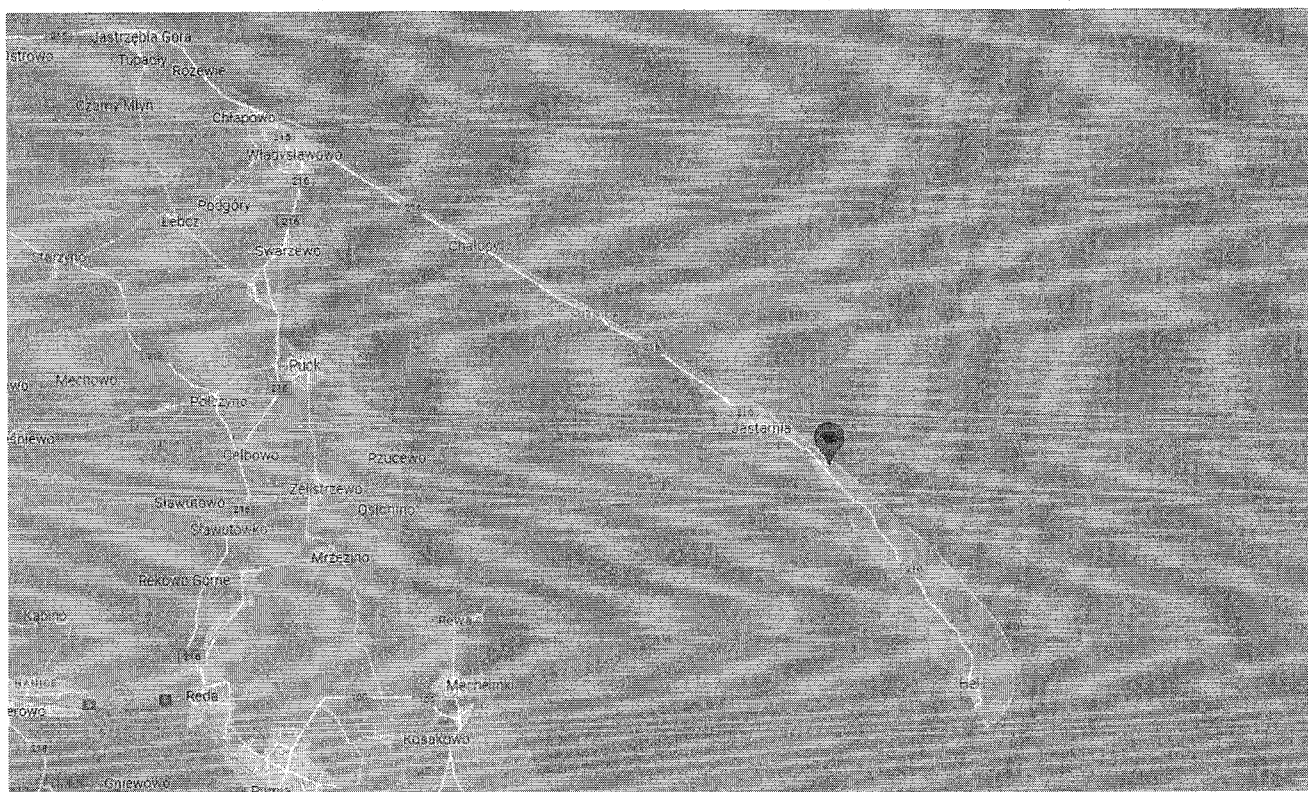
Zał. 1. Lokalizacja obiektu.

Zał. 2. Widok pionów pomiarowych

Zał. 3. Widok stacji bazowej

**Koniec sprawozdania**

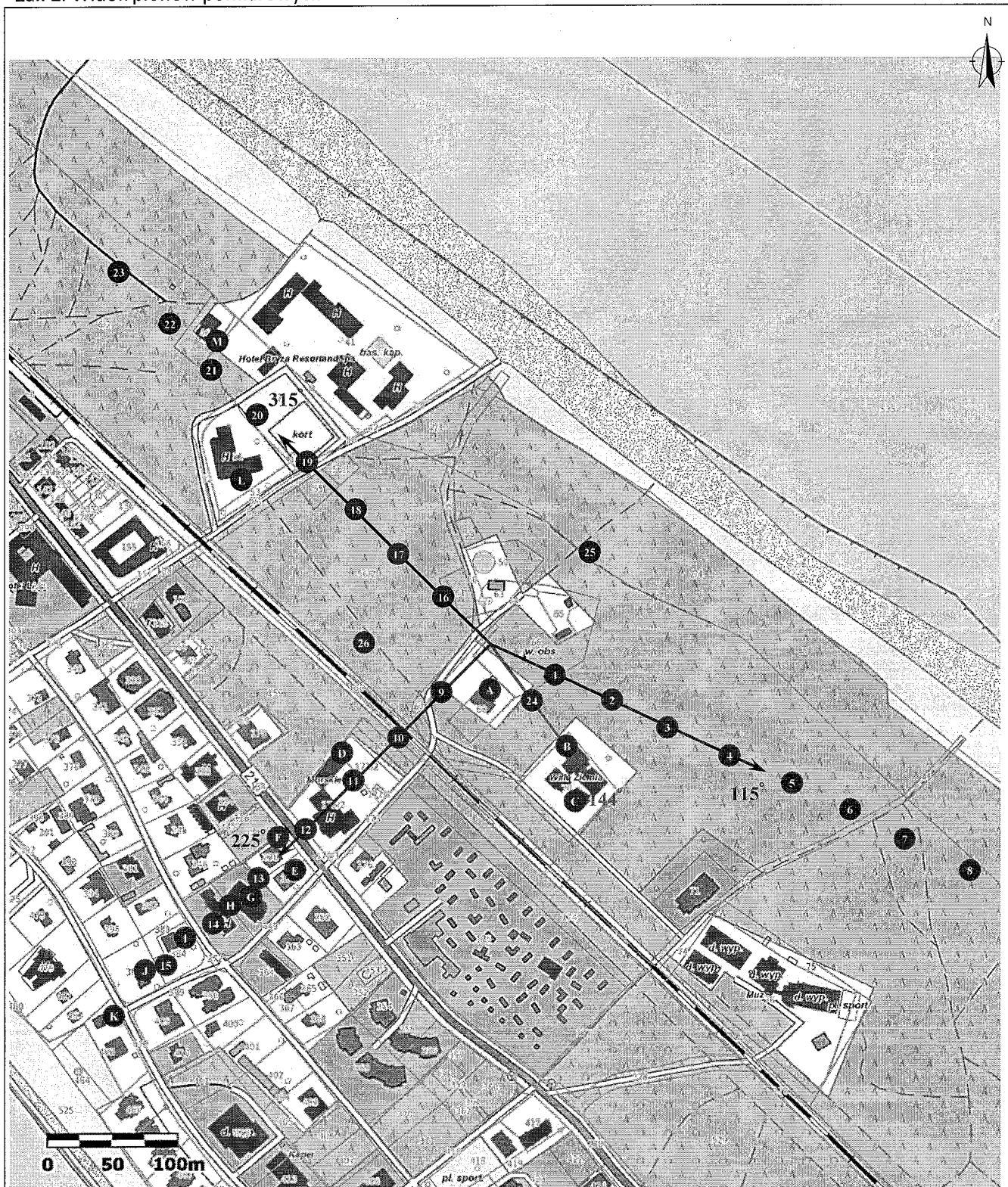
### Zał. 1. Lokalizacja obiektu



Współrzędne geograficzne	
szerokość:	54°40'58.99"N
długość:	18°43'08.69"E



Zał. 2. Widok pionów pomiarowych



LEGENDA:	
	inna instalacja radiokomunikacyjna
	brak dostępu
	pion pomiarowy
	antena sektorowa
	antena radioliniowa
Odległość, do której zostały wykonane pomiary, mierząc od instalacji antenowej, wynosi min. 411m	

Skala 1: 5000

Załącznik 3. Załączniki graficzne

